

Univerzita Karlova v Praze
Matematicko-fyzikální fakulta

BAKALÁŘSKÁ PRÁCE



Pavel Horal

Reed-Solomonovy kódy a jejich aplikace

Katedra Algebry

Vedoucí bakalářské práce: Doc. RNDr. Aleš Drápal, CSc.

Studijní program: Matematika

Studijní obor: Matematické Metody Informační Bezpečnosti

2006

Chtěl bych poděkovat Doc. RNDr. Alešovi Drápalovi za odborné vedení a čas věnovaný kontrole práce.

Prohlašuji, že jsem svou bakalářskou práci napsal(a) samostatně a výhradně s použitím citovaných pramenů. Souhlasím se zapůjčováním práce a jejím zveřejňováním.

V Praze dne 30.5. 2006

Pavel Horal

Obsah

1	Úvod	4
2	Samoopravné kódy	5
2.1	Základní pojmy	5
2.2	Lineární kódy	7
2.3	Dekódování lineárních kódů	8
2.4	Cyklické kódy	9
2.5	Součinnové kódy	11
2.6	MDS kódy	12
3	Reed-Solomonovy kódy	14
3.1	Konstrukce RS kódů	14
3.2	Kódování RS kódů	16
3.3	Dekódování RS kódů	16
3.3.1	Petersonův algoritmus	18
3.3.2	Berlekamp-Masseyho algoritmus	21
3.3.3	Euklidův algoritmus	25
3.3.4	Chienovo prohledávání	31
3.3.5	Forneyho vzorec	32
3.3.6	Krátce o složitostech	33
4	Aplikace RS kódů	35
4.1	CCSDS standard	35
4.2	CIRC	35
4.3	DVD	37
4.4	Další aplikace	37
	Literatura	38

Název práce: Reed-Solomonovy kódy a jejich aplikace
Autor: Pavel Horal
Katedra (ústav): Katedra Algebry
Vedoucí bakalářské práce: Doc. RNDr. Aleš Drápal, CSc.
e-mail vedoucího: drapal@karlin.mff.cuni.cz

Abstrakt: Práce podává ucelenou definici klasických Reed-Solomonových kódů, včetně potřebných základů teorie kódů. Je dokázána cykličnost RS kódů délky $q - 1$. Na cykličnosti jsou pak založeny tři prezentované dekódovací algoritmy (Petersonův, Berlekamp-Masseyův a Euklidův dekódovací algoritmus), včetně důkazů existence řešení. V poslední kapitole uvádím několik aplikací RS kódů, včetně nejznámějšího standardu CIRC používaného na hudebních CD.

Klíčová slova: samoopravný kód, ECC, Reed-Solomon, Peterson, Berlekamp-Massey, Euklid, CIRC

Title: Reed-Solomon codes and applications
Author: Pavel Horal
Department: Department of Algebra
Supervisor: Doc. RNDr. Aleš Drápal, CSc.
Supervisor's e-mail address: drapal@karlin.mff.cuni.cz

Abstract: This work presents compact definition of classic Reed-Solomon codes with necessary elements of coding theory. The cyclicity of RS codes of length $q - 1$ is proved and there are completely described three decoding algorithms (Peterson's, Berlekamp-Massey and Euclid decoding algorithm) based on RS cyclicity. I also introduce a few RS codes applications in the last chapter, mainly the most popular CIRC standard, which is used on audio CDs.

Keywords: Error-Correcting Code, ECC, Reed-Solomon, Peterson, Berlekamp-Massey, Euclid, CIRC

Kapitola 1

Úvod

V druhé polovině dvacátého století přinesla digitalizace s sebou informační lavinu. Data je potřeba přenášet i uchovávat co nejefektivněji a nejrychleji, avšak chybná data svou cenu ztrácejí. Je proto třeba přejít k mechanismům, které jsou schopny chyby nejen odhalit, ale také odstranit. Takovými mechanismy jsou samoopravné kódy.

V roce 1944 publikoval Claude Shannon v rámci teorie informace *Shannonovu větu* ([2], str. 22), díky čemuž teorii kódů postavil na pevný základ, neboť dokázal existenci libovolně spolehlivých kódů. S příchodem informačních technologií se pak obor samoopravných kódů stal velmi populární a prožívá svůj rozvoj dodnes. Jako jeden z mála je úspěšnou aplikací nových objevů algebraických teorií v praxi.

Jedním z dnes nejrozšířenějších kódů jsou *Reed-Solomonovy kódy*. Reed-Solomonovy kódy byly poprvé publikovány I.S. Reedem a G. Solomonem v prosinci roku 1958 ve zprávě¹ „*Polynomiální kódy nad určitými konečnými tělesy*.“ Dodnes se těší díky svým vlastnostem a „jednoduché“ definici velké oblibě. S objevem generujících polynomů pro cyklické kódy pak byly nalezeny nové dekódovací metody.

Tato práce prezentuje definici klasických Reed-Solomonových kódů a tři různé metody dekódování, založené na cykličnosti RS kódů. V poslední kapitole je popsána nejznámější aplikace RS kódů, konkrétně standard *CIRC*, používaný především na hudebních CD.

Česká terminologie je ustálena jen částečně, došel jsem proto k názoru, že práce tohoto typu by neměla aspirovat na zavedení českých ekvivalentů tam, kde se v odborné literatuře ještě nevyskytly. Proto některá anglická označení používám v češtině na pozici adjektiv. Naopak u většiny českých označení se snažím uvádět i anglické ekvivalenty.

¹I.S. Reed, G. Solomon: *Polynomial codes over certain finite fields*, M.I.T. Lincoln Laboratory Group Report 47.23, 1958

Kapitola 2

Samoopravné kódy

2.1 Základní pojmy

Samoopravné kódy (dále jen SO kódy) jsou mechanismy pro ošetření chyb při přenosu informací. Abychom mohli kódy definovat a zkoumat jejich vlastnosti, je nejprve třeba přijmout model komunikace. Jak vypadá přenášená zpráva?

Informace je nejčastěji realizována jako řetězec *symbolů*. V počítačovém světě jsou to například jedničky a nuly (za symbol můžeme považovat také celých 8 bitů, tedy jeden byte - např. ASCII tabulka).

Při přenosu máme *zdroj zpráv* (*message source*) a *příjemce* (*reciever*). Přenos zprávy mezi nimi se děje přes *kanál*. Jako kanál můžeme uvažovat například radiové spojení nebo čtení hudebního CD laserem (kde zdroj je CD a příjemce zesilovač). Každému kanálu můžeme přiřadit jeho chybovost, t.j. pravděpodobnost s jakou nastane při přenosu jednoho symbolu chyba (přijatý symbol je různý od odeslaného). V tomto případě bereme přenosy symbolů jako vzájemně nezávislé jevy.

Přijímat data různá od odeslaných je určitě nežádoucí, a proto přicházejí na řadu SO kódy. Naším cílem je data zakódovat (nějakým způsobem přepsat) do formy, která by určitému počtu chyb odolala a na straně příjemce mohla být správně dekodována. Umožní nám to přidání nadbytečné informace (redundance). Tedy za cenu prodloužení informace jsme schopni nějak s chybami pracovat. Slovo „cena“ je použito schválně, neboť v reálu znamená více dat delší přenos a více peněz. U SO kódu nás zajímá o kolik data prodlouží (*rate*) a kolik chyb je schopen detekovat a opravit (*error correction capability*). V dnešní době musíme přidat další kritérium, a tím je efektivita a rychlost kódování/dekódování (snímky z Marsu se mohou dekodovat hodinu, u digitální televize by to pak patrně vadilo).

Příklad: Jednoduchým SO kódem je binární opakovací kód. Každý bit několikrát opakujeme, například třikrát: $0 \mapsto 000, 1 \mapsto 111$. Nastane-li jedna chyba, jsme schopni správně určit původní bit ($011 \mapsto 1$). Pokud však nastanou dvě chyby, budeme dekodovat špatně.

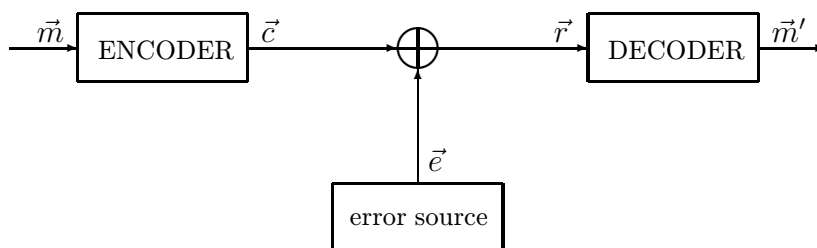
Zprávu, kterou chceme odeslat můžeme rozdělit na bloky o délce k . Každý jednotlivý blok pak před odesláním zakódujeme, čímž se prodlouží na n symbolů. Čísla k a

n jsou plně určena použitým kódem. Kód, jehož kódové slovo závisí pouze na odpovídajících k informačních symbolech se nazývá *blokový* (naproti tomu u *konvolučních* kódů závisí i na předešlých blocích/symbolech).

Blok informace délky k , kterou chceme předat, se obvykle značí \vec{m} . Blok kódované informace délky n je \vec{c} . Přijaté slovo (může se lišit od odeslaného \vec{c}) označíme \vec{r} . Po dekódování přijatého slova \vec{r} obdržíme kandidáta na slovo odeslané \vec{m}' . Pravděpodobnost $P[\vec{m} = \vec{m}']$ se nazývá spolehlivost kódu (a právě o ní dokázal C.E. Shannon, že existují libovolně spolehlivé kódy).

Pokud na symbolech lze zavést operace $+$, $-$, \cdot , $/$ tak, aby množina všech symbolů tvořila těleso, můžeme na kódová slova pohlížet jako na prvky vektorového prostoru. V dalším textu budeme pracovat se symboly pouze jako s prvky nějakého konečného tělesa \mathbb{F}_q .

Definujeme chybu (*error pattern*) jako $\vec{e} = \vec{r} - \vec{c}$. Celé popsané schéma je vidět na obrázku 1.



Obr. 1: Schéma přenosu informace s použitím kódování

Tvar chybového vektoru \vec{e} plně závisí na vlastnostech kanálu. Důležitou informací je pro nás, kolik má nenulových symbolů nebo též, v kolika symbolech se liší odeslané kódové slovo od přijatého.

Definice 2.1.1 *Hammingova vzdálenost (dále jen vzdálenost) $d(\vec{x}, \vec{y})$ dvou vektorů \vec{x} a \vec{y} je rovna počtu souřadnic, ve kterých se liší.*

Definice 2.1.2 *Hammingova váha (dále jen váha) $w(\vec{x})$ vektoru \vec{x} je rovna počtu nenulových souřadnic.*

Příklad: $d(1000111, 1010110) = 2$, $w(1011010) = 4$

Pokud tedy obdržíme slovo \vec{r} , je úkolem dekodéru nalézt takové kódové slovo \vec{c} , aby vzdálenost $d(\vec{r}, \vec{c})$ byla nejmenší možná. Dekódování na nejbližší kódové slovo se nazývá *Maximum Likelihood Decoding*. Chyba dekódování nastane tehdy, má-li přijaté slovo blíže k jinému než odeslanému kódovému slovu. Dobrou charakteristiku kódu proto uvádí následující definice.

Definice 2.1.3 *Minimální vzdálenost d_{min} kódu C je rovna $d_{min} = \min\{d(\vec{x}, \vec{y}) \mid \vec{x}, \vec{y} \in C\}$ (obvykle se uvádí bez indexu min).*

Nechť má kód C minimální vzdálenost $d = 2t + 1$. Pokud vzdálenost $d(\vec{c}, \vec{r}) \leq t$ pro nějaké $\vec{c} \in C$, nemůže pro žádné jiné kódové slovo $\vec{c}' \in C$ být vzdálenost $d(\vec{c}', \vec{r}) \leq t$, jinak by totiž muselo platit $d(\vec{c}, \vec{c}') \leq 2t$, a to by byl spor s definicí minimální vzdálenosti.

Vidíme, že pokud při přenosu nastane méně než t chyb (vzdálenost odeslaného a přijatého kódového slova bude menší než t), jsme schopni správně dekódovat. O tom, kolik chyb jsme schopni opravit tedy rozhoduje minimální vzdálenost.

Definice 2.1.4 *O kódu C s délkou bloku kódované informace k , délkou kódového slova n a minimální vzdáleností d říkáme, že je to (n, k, d) kód.*

Definice 2.1.5 *O dvou kódech C a C' říkáme, že jsou navzájem ekvivalentní, pokud se kódová slova liší pouze v pořadí symbolů.*

2.2 Lineární kódy

Jak informaci kódovat nebo dekódovat, není vůbec jasné. Použití aparátu lineární algebry takové metody nabízí. Důležitou třídou jsou proto *lineární kódy*.

Definice 2.2.1 *O kódu C nad tělesem \mathbb{F}_q s parametry (n, k, d) říkáme, že je lineární, pokud C (množina kódových slov) je vektorovým podprostorem prostoru \mathbb{F}_q^n .*

Parametry lineárních kódů se obvykle uvádí v hranatých závorkách – je-li řeč o $[n, k, d]$ kódu, jde o kód lineární.

Tvrzení 2.2.2 *Minimální vzdálenost d_{min} lineárního kódu C je rovna minimální váze*

$$d_{min} = w_{min} = \min\{w(\vec{c}) \mid c \in C\} \quad (2.1)$$

Důkaz: Triviálně dostáváme $d(\vec{c}, \vec{c}') = w(\vec{c} - \vec{c}')$, kde $\vec{c} - \vec{c}' \in C$ □

Dimenze lineárního kódu C je nutně rovna k ($|C| = q^k$). Z C , jakožto vektorového podprostoru, můžeme vybrat bázi a pomocí ní sestavit homomorfismus $\mathbb{F}_q^k \rightarrow \mathbb{F}_q^n$. Obrazem homomorfismu bude právě C . Matice takového homomorfismu se značí G a nazývá se *generující matice* kódu C .

Definice 2.2.3 *Matice G tvaru $(k \times n)$, jejíž řádky tvoří nějakou bázi C , nazýváme generující maticí.*

Kódování zprávy lineárním kódem je snadné. Stačí vynásobit generující matici G zprávou \vec{m} :

$$\vec{c} = \vec{m}G. \quad (2.2)$$

Libovolnou elementární transformací na řádkách matice G dostaneme generující matici G' kódu C . Vynásobením řádku G prvkem z \mathbb{F}_q nebo přičtením jednoho řádku k druhému pouze obdržíme jinou bázi C .

Definice 2.2.4 *O (n, k, d) kódu C řekneme, že je systematický, pokud pro $\vec{m} = (m_1, \dots, m_k)$ je odpovídající kódové slovo tvaru $\vec{c} = (m_1, \dots, m_k, p_1, \dots, p_{n-k})$. Prvních k symbolů pak nazýváme informační a zbylých $n - k$ paritní.*

Generující matice lineárního systematického kódu má tvar $G = (IP)$, kde I je jednotková matice ($k \times k$) a P nějaká matice ($k \times (n - k)$). Systematický kód má tu výhodu, že pokud při přenosu nenastane žádná chyba, jsme ihned bez dekódování schopni vyčíst informaci. Pokud je kód C ekvivalentní nějakému systematickému kódu, bývá lepší užít systematického kódu.

Tvrzení 2.2.5 *Každý lineární kód je ekvivalentní nějakému systematickému kódu.*

Důkaz: Generující matice G kódu C s parametry $[n, k, d]$ obsahuje k lineárně nezávislých vektorů báze podprostoru C , tedy její hodnost je k . Protože $h(G) = h(G^T) = k$ můžeme z G vybrat k lineárně nezávislých sloupců a přesunout je na začátek matice. Gaussovou eliminací vytvoříme hledanou matici ekvivalentního systematického kódu C' tvaru $G' = (IP)$. \square

2.3 Dekódování lineárních kódů

U systematických kódů bychom chtěli mít možnost rychle ověřit, že nenastala žádná chyba (pak můžeme ihned informaci vyčíst). Potřebujeme nějaké zobrazení na slovech, kde podle obrazu jednoznačně zjistíme, zda je nebo není slovo z kódu C . Můžeme zkusit najít takovou lineární kombinaci souřadnic slova, která bude právě pro kódová slova nulová.

$$\sum_{i=1}^n a_i v_i = \begin{cases} 0 & \text{pro } \vec{v} \in C \\ \neq 0 & \text{pro } \vec{v} \notin C \end{cases} \quad (2.3)$$

Uvedená lineární kombinace bude přesně určena svými koeficienty $\vec{a} = (a_1, \dots, a_n)$. Jde o zobrazení $\mathbb{F}_q^n \rightarrow \mathbb{F}_q$ a nazývá se *lineární forma*. Abychom našli její koeficienty \vec{a} , musíme řešit soustavu

$$G\vec{a}^T = 0. \quad (2.4)$$

Máme soustavu (2.4) k lineárně nezávislých rovnic pro n neznámých. Řešením je tedy podprostor¹ \mathbb{F}_q^n dimenze $n - k$. Podprostor se značí \tilde{C} a je to *duální kód*² kódu C .

Vztah parametrů kódu C k parametrům svého duálního kódu \tilde{C} jsou vcelku hluboké. Pro nás je důležitá především generující matice duálního kódu \tilde{C} (dimenze $n - k$), tedy matice obsahující bázi prostoru všech lineárních forem splňujících (2.4).

Definice 2.3.1 *Matice P , jejíž řádky tvoří nějakou bázi duálního kódu \tilde{C} , nazýváme paritní maticí kódu C .*

¹konkrétně podprostor *duálního prostoru* $\text{Hom}(\mathbb{F}_q^n, \mathbb{F})$, tedy prostoru všech lineárních forem na \mathbb{F}_q^n – viz. [6]

²Definice duálních kódů se obvykle uvádí zjednodušeně za pomoci pseudo-skalárního součinu, jako kód C^\perp kolmý na kód C – viz. [5]

Paritní matice má hledanou vlastnost

$$P\vec{v}^T = \begin{cases} 0 & \text{pro } \vec{v} \in C \\ \neq 0 & \text{pro } \vec{v} \notin C \end{cases} \quad (2.5)$$

Pomocí paritní matice jsme schopni rychle určit, zda přijaté kódové slovo je kódovým slovem, tedy zda s velkou pravděpodobností nenastala chyba. Pokud pro přijaté slovo \vec{r} je $P\vec{r}^T = 0$, platí $\vec{r} = \vec{c}' \in C$. Co ale, když je přijaté slovo tvaru $\vec{r} = \vec{c} + \vec{e}$? Potom dostáváme $P\vec{r}^T = P\vec{c}'^T + P\vec{e}'^T = P\vec{e}'^T = \vec{s}$. Výsledek vynásobení paritní matice přijatým slovem se nazývá *syndrom*. Je vidět, že syndrom závisí pouze na chybě, nikoliv na odesílaném slově.

Syndrom je vektor o $(n - k)$ souřadnicích, tedy pro $[n, k, d]$ kód nad \mathbb{F}_q máme celkem q^{n-k} možných syndromů. Můžeme vytvořit převodní tabulku, kde každému syndromu \vec{s} přiřadíme chybový vektor \vec{e} s nejmenší vahou takový, aby $P\vec{e}'^T = \vec{s}$. Máme jednoduchý návod, jak obecně dekódovat lineární kódy (na nejbližší kódové slovo). Velikou nevýhodou je rozsáhlá převodní tabulka obsahující q^{n-k} syndromů a jim odpovídajících chybových vektorů.

2.4 Cyklické kódy

Vektor $\vec{v} = (v_0, \dots, v_{n-1})$ můžeme reprezentovat také pomocí polynomů stupně menšího než n , neboť aditivní operace a násobení skalárem jsou v obou reprezentacích identické.

Definice 2.4.1 Pro vektor \vec{v} definujeme jeho polynomiální reprezentaci $v(x)$:

$$\vec{v} = (v_0, v_1, \dots, v_{n-1}) \longleftrightarrow v_0 + v_1x + \dots + v_{n-1}x^{n-1} = v(x) \quad (2.6)$$

Nová reprezentace kódových slov umožňuje násobení dvou slov/polynomů, díky kterému budeme schopni popsat novou třídu kódů.

Definice 2.4.2 *Cyklickým posunem souřadnic vektoru \vec{v} je operace:*

$$\vec{v} = (v_0, \dots, v_{n-2}, v_{n-1}) \longrightarrow \vec{v}' = (v_{n-1}, v_0, \dots, v_{n-2})$$

Definice 2.4.3 *Lineární kód C nazveme cyklickým, pokud spolu s každým kódovým slovem $c \in C$ obsahuje i jeho cyklický posun.*

V polynomiální reprezentaci odpovídá cyklický posun násobení slova $c(x)$ polynomem x modulo $(x^n - 1)$. Tedy

$$\begin{aligned} xc(x) &= x(c_0 + \dots + c_{n-2}x^{n-2} + c_{n-1}x^{n-1}) \equiv \\ &\equiv c_{n-1} + c_0x + \dots + c_{n-2}x^{n-1} \pmod{(x^n - 1)}. \end{aligned}$$

Lze snadno nahlédnout, že násobením x^i získáme cyklický posun o i souřadnic. Násobení kódového slova libovolným polynomem vypadá následovně:

$$a(x)c(x) = \sum_{i=0}^{\deg(a)} a_i x^i c(x).$$

V řeči vektorů tedy nejde o nic jiného, než o lineární kombinaci cyklických posunů kódového slova \vec{c} . Protože cyklický kód C obsahuje s kódovým slovem i jeho cyklické posuny, tak $a(x) \cdot c(x) \in C$. Vidíme, že cyklický kód je ideálem v $\mathbb{F}_q[x]/(x^n - 1)$.

Jsme v oboru hlavních ideálů, a proto musí existovat i generující polynom ideálu/kódu C . V polynomiální reprezentaci můžeme zvolit monický³ polynom nejmenšího stupně $g(x) \in C$. Takový polynom musí být určen jednoznačně, protože pokud by existoval jiný polynom $g'(x)$, mohli bychom odečtením polynomu $g'(x)$ od $g(x)$ získat polynom stupně menšího, což by bylo ve sporu s výběrem $g(x)$.

Polynom $g(x)$ z předchozího odstavce také dělí všechny kódové polynomy $c(x) \in C$. Polynom $c(x)$ můžeme vydělit se zbytkem polynomem $g(x)$: $c(x) = q(x)g(x) + r(x)$, kde $\deg(r) < \deg(g)$. Platí $c(x) - q(x)g(x) \in C \Rightarrow r(x) \in C$, a tak $r(x) = 0$, jinak by to byl spor s výběrem $g(x)$. Můžeme vyslovit tvrzení (již bez důkazu):

Tvrzení 2.4.4 *Pro cyklický kód C je monický polynom $g(x) \in C$ nejmenšího stupně generující polynom kódu C . Takový polynom je určen jednoznačně a pro každé $c(x) \in C$ platí $g(x) \mid c(x)$.*

Tvrzení 2.4.5 *Generující polynom $g(x)$ cyklického $[n, k, d]$ kódu dělí polynom $x^n - 1$.*

Důkaz: $x^n - 1$ můžeme vydělit se zbytkem $x^n - 1 = q(x)g(x) + r(x)$. Tedy $0 - q(x)g(x) \equiv r(x) \pmod{x^n - 1}$. Tedy $r(x) = 0$, jinak dojde ke sporu s minimalitou $g(x)$, protože $q(x)g(x) \in C$. \square

Tvrzení 2.4.6 *Generující polynom $g(x)$ cyklického kódu $C = [n, k, d]$ má stupeň $\deg(g) = n - k$.*

Důkaz: Nechť $\deg(g) = r$. Díky předchozímu tvrzení víme, že existuje polynom $h(x)$ stupně $\deg(h) = n - r$, pro který platí $x^n - 1 = h(x)g(x)$. Kódový polynom $c(x)$ je dělitelný $g(x)$. Můžeme psát $c(x) = a(x)g(x)$, kde stupeň a bude nejmenší možný. Pokud bude $\deg(a) > n - r$, mohli bychom dělit se zbytkem $a(x) = q(x)h(x) + r(x)$, kde $\deg(r) < \deg(h)$. Dosazením získáme

$$c(x) = a(x)g(x) = (q(x)h(x) + r(x))g(x) = g(x)r(x).$$

Dostali jsme spor s minimálním stupněm $a(x)$, tedy platí $\deg(a) \leq n - r$. Všech možných $a(x)$ je q^{n-r} . Protože máme přesně q^k kódových slov, musí být $n - r = k$ a $r = n - k$. \square

Tvrzení 2.4.6 dává i bázi kódu C , neboť víme, že násobek $a(x)g(x)$ je lineární kombinací cyklicky posunutého $g(x)$. Generující matice cyklického kódu s generujícím polynomem $g(x)$ má tvar:

³Koeficient u nejvyšší mocniny je roven jedné.

$$G = \begin{pmatrix} g_0 & g_1 & \cdots & g_{n-k-1} & g_{n-k} & 0 & \cdots & 0 \\ 0 & g_0 & g_1 & \cdots & g_{n-k-1} & g_{n-k} & \cdots & 0 \\ \vdots & & & \ddots & & & & \vdots \\ 0 & \cdots & 0 & g_0 & g_1 & \cdots & g_{n-k-1} & g_{n-k} \end{pmatrix} \quad (2.7)$$

Generující polynom dělí každý kódový polynom. To znamená, že kořeny generujícího polynomu jsou i kořeny každého kódového slova. Pokud prvky $\alpha_1, \dots, \alpha_{n-k}$ z nějakého rozšíření \mathbb{F}_q jsou kořeny $g(x)$, tak jejich dosazením do přijatého polynomu $r(x)$ zjistíme, zda je kódovým polynomem. Dosazení do polynomu můžeme zapsat maticově, a tak sestojit paritní matici cyklického kódu⁴:

$$P = \begin{pmatrix} 1 & \alpha_1 & \alpha_1^2 & \alpha_1^3 & \cdots & \alpha_1^{n-1} \\ 1 & \alpha_2 & \alpha_2^2 & \alpha_2^3 & \cdots & \alpha_2^{n-1} \\ \vdots & & & & \ddots & \\ 1 & \alpha_{n-k} & \alpha_{n-k}^2 & \alpha_{n-k}^3 & \cdots & \alpha_{n-k}^{n-1} \end{pmatrix} \quad (2.8)$$

Jak ukáží později, tato matice povede k novým dekodovacím možnostem.

2.5 Součinnové kódy

Máme-li dva samoopravné kódy $C_1 - (n_1, k_1, d_1)$ a $C_2 - (n_2, k_2, d_2)$ naskýtá se otázka, zda bychom je mohli nějakým způsobem spojit a třeba i dostat jisté lepší vlastnosti. Jednou možností, jak spojení provést, jsou *součinnové kódy* (*product codes*).

Součinnové kódy se obvykle popisují ve dvou rozměrech (maticově). Vždy kódujeme najednou $k = k_1 k_2$ symbolů. Zprávu uspořádáme po řádcích do matice ($k_2 \times k_1$):

$$\begin{pmatrix} m_1 & m_2 & \cdots & m_{k_1} \\ m_{k_1+1} & m_{k_1+2} & & m_{2k_1} \\ & \ddots & & \\ & & \cdots & m_{k_2 k_1} \end{pmatrix}$$

Jako první zakódujeme jednotlivé řádky matice kódem C_1 . Dostaneme k_2 kódových slov délky n_1 . Vše necháme uspořádané v matici, nyní již tvaru ($k_2 \times n_1$):

$$\begin{pmatrix} c_1^{(1)} & c_2^{(1)} & \cdots & c_{n_1}^{(1)} \\ c_1^{(2)} & c_2^{(2)} & & c_{n_1}^{(2)} \\ \vdots & \vdots & & \vdots \\ c_1^{(k_2)} & c_2^{(k_2)} & \cdots & c_{n_1}^{(k_2)} \end{pmatrix} \quad (2.9)$$

Nakonec postupně zakódujeme sloupce vzniklé matice kódem C_2 . Výsledkem je matice tvaru ($n_2 \times n_1$), kterou můžeme považovat za kódové slovo délky $n = n_1 n_2$. Obrázek 2 ukazuje výslednou matici při použití dvou systematických kódů.

⁴Polynom $g(x)$ se nemusí vždy rozkládat v \mathbb{F}_q na kořenové činitele, ale až v nějakém jeho algebraickém rozšíření. Jde proto o paritní matici v poněkud jiném smyslu, než bylo uvedeno výše.

m_1	m_2	\cdots	m_{k_1}	paritní symboly C_1
		\ddots	\cdots	
paritní symboly C_2				

Obř. 2 Schéma součinového kódu pro systematické kódy C_1 a C_2

Tvrzení 2.5.1 *Součinový kód, tvořený (n_1, k_1, d_1) kódem C_1 a (n_2, k_2, d_2) kódem C_2 , je $(n_1 n_2, k_1 k_2, d_1 d_2)$ kód.*

Důkaz: Délka kódového i zdrojového slova jasně plyne z popisu součinového kódu. Minimální vzdálenost budeme muset dokázat.

Výchozím bodem je určení minimální vzdálenosti matice (2.9), vytvořené po kódování kódem C_1 . Pokud zaměníme ve zprávě jeden symbol, změní se odpovídající řádek alespoň v d_1 symbolech. Minimální vzdálenost matic z (2.9), odpovídajících různým zprávám, je proto d_1 . Minimální vzdálenost d_1 nastává alespoň v jednom řádku, a tak při kódování sloupců kódem C_2 , se pro dvě různé zprávy bude lišit nejméně v d_1 sloupcích. Minimální vzdálenost dvou kódových slov kódu C_2 je d_2 , a protože se vždy liší alespoň d_1 slov, dostáváme minimální vzdálenost součinového kódu $d_{min} = d_1 d_2$. \square

Součinové kódy jsou odolné vůči některým chybovým vzorům. Pokud umí kód C_1 , resp. C_2 , opravit $t_1 = (d_1 - 1)/2$, resp. $t_2 = (d_2 - 1)/2$, chyby, jsme schopni v součinovém kódu zprávu správně dekodovat i pokud obdržíme t_1 sloupců a t_2 řádků zcela chybných. To je o mnoho více než dostáváme z minimální vzdálenosti $d_1 d_2$. Získali jsme vysokou odolnost proti *dávkovým chybám*⁵. Zároveň máme složitost dekodování stejnou jako u relativně krátkých kódů C_1 a C_2 .

2.6 MDS kódy

Tvrzení 2.6.1 (Singletonův odhad) *Pro blokový kód C s parametry (n, k, d) platí*

$$d \leq n - k + 1 \tag{2.10}$$

Důkaz: Odstraníme-li v kódu $d - 1$ souřadnic, tak se nezmění jeho velikost k (vzdálenost slov je nejhůře rovna jedné). Tedy po odstranění $d - 1$ souřadnic musí zůstat alespoň k jiných souřadnic.

$$n - (d - 1) \geq k \implies d \leq n - k + 1$$

\square

⁵Jedná se o chyby přicházející v dávkách (*burst error*), tedy souvislé chyby na několika symbolech za sebou – pro většinu reálných kanálů jsou velmi pravděpodobné.

Kódy splňující v (2.10) rovnost se nazývají *MDS* (*Maximum Distance Separable*) kódy.

Kapitola 3

Reed-Solomonovy kódy

3.1 Konstrukce RS kódů

Reed-Solomonovy kódy jsou konstruovány nad obecným konečným tělesem \mathbb{F}_q . Počet prvků takového tělesa je $q = p^m$, pro nějaké prvočíslo p . Důležitou vlastností konečného tělesa je cykličnost jeho multiplikatívni podgrupy. Jinými slovy existuje *primitivní prvek* $\alpha \in \mathbb{F}_q$, jehož mocniny α^i , pro $i = 0, \dots, q - 2$, generují všechny nenulové prvky \mathbb{F}_q .

Pokud vezmeme informaci \vec{m} délky $k \leq q - 1$, můžeme z ní sestrojít polynom stupně menšího než k , tvaru

$$m(x) = m_0 + m_1x + \dots + m_{k-1}x^{k-1}. \quad (3.1)$$

Kódové slovo délky $n = q - 1$ je pak tvořeno valuacemi polynomu $m(x)$ ve všech nenulových bodech tělesa \mathbb{F}_q . Klasická definice RS kódů vypadá následovně:

Definice 3.1.1 *Nechť je $\alpha \in \mathbb{F}_q$ nějaký primitivní prvek. Reed-Solomonův¹ ($RS_{q,k}$) kód je tvořen slovy tvaru:*

$$(f(\alpha^0 = 1), f(\alpha^1 = \alpha), f(\alpha^2), \dots, f(\alpha^{q-2})), \quad (3.2)$$

kde $f(x)$ probíhá všechny polynomy stupně menšího než k , $0 < k \leq q - 1$.

Jedná se o kód lineární, neboť nulový vektor získáme valuací nulového polynomu a součet dvou valuací je opět valuace: $f(\alpha^i) + \hat{f}(\alpha^i) = (f + \hat{f})(\alpha^i)$.

Libovolný polynom $f(x)$, kde $\deg(f) \leq k - 1$, můžeme obdržet jako lineární kombinaci polynomů $1, x, x^2, \dots, x^{k-1}$. Valuační těchto polynomů zcela jistě generují celý $RS_{q,k}$. Protože polynom $f(x)$, stupně nejvýše $k - 1$, je jednoznačně určen svými $k \leq q - 1$ funkčními hodnotami, žádné kódové slovo délky $q - 1$ nemůže být valuací dvou různých polynomů, stupně nejvýše $k - 1$. Dimenze $RS_{q,k}$ kódu je proto k a bázi

¹Takto definované RS kódy délky $q - 1$ se označují jako *klasické*.

tak tvoří valuace polynomů $1, x, x^2, \dots, x^{k-1}$. Generující matice má tedy tvar:

$$G = \begin{pmatrix} 1 & 1 & 1 & \cdots & 1 \\ 1 & \alpha & \alpha^2 & \cdots & \alpha^{q-2} \\ 1 & \alpha^2 & \alpha^4 & \cdots & \alpha^{2(q-2)} \\ \vdots & & & \ddots & \vdots \\ 1 & \alpha^{k-1} & \alpha^{2(k-1)} & \cdots & \alpha^{(k-1)(q-2)} \end{pmatrix} \quad (3.3)$$

Polynom $f(x)$, stupně nejvýše $k-1$, může mít nejvýše $k-1$ kořenů. Každé kódové slovo proto obsahuje nejvýše $k-1$ souřadnic rovných nule. Minimální váha, a tedy i vzdálenost, musí splňovat $w = d \geq n - k + 1$. Díky Singletonově odhadu (2.10) však platí rovnost. Minimální vzdálenost kódu je $d = n - k + 1$, jedná se proto o MDS kód (oddíl 2.6). Je dobré nahlédnout, že pokud ubereme kódu některé souřadnice (zkrátíme ho), tak MDS vlastnost zůstane².

Tvrzení 3.1.2 *Reed-Solomonův kód definovaný v 3.1.1 je cyklický.*

Důkaz: Stačí ukázat, že pro kódové slovo $(f(\alpha^0), f(\alpha^1), \dots, f(\alpha^{q-2}))$ je kódovým slovem i jeho cyklický posun $(f(\alpha^1), \dots, f(\alpha^{q-2}), f(\alpha^0 = \alpha^{q-1}))$. Valuace polynomu $f(x)$ v bodě α^l je rovna $f(\alpha^l) = \sum_{i=0}^{k-1} f_i(\alpha^l)^i$. Cyklický posun můžeme proto realizovat jako valuace polynomu $\hat{f}(x) = \sum_{i=0}^{k-1} \frac{f_i}{\alpha^i} x^i$. Pro nový polynom platí $\hat{f}(\alpha^{l+1}) = \sum_{i=0}^{k-1} \frac{f_i}{\alpha^i} (\alpha^{l+1})^i = \sum_{i=0}^{k-1} f_i(\alpha^l)^i = f(\alpha^l)$. \square

Uvedená vlastnost dovoluje použít znalostí a postupů z cyklických kódů. RS kód je hlavním ideálem v okruhu $\mathbb{F}_q[x]/(x^n - 1)$. Jak vypadá jeho generující polynom $g(x)$?

Generující polynom $g(x)$ dělí $x^n - 1 = x^{q-1} - 1$. Polynom $x^{q-1} - 1$ má právě $q-1$ kořenů a tím jsou nenulové prvky \mathbb{F}_q . Polynom $x^{q-1} - 1$ se tedy (stejně jako $g(x)$) rozkládá v \mathbb{F}_q na lineární činitele. Nemusíme se proto starat o žádné algebraické rozšíření a stále pracujeme jen v \mathbb{F}_q . Generující polynom můžeme sestavit jako součin $g(x) = \prod_{i=1}^{n-k} (x - \alpha_i)$ pro nějaké navzájem různé prvky $\alpha_1, \dots, \alpha_{n-k}$. Otázkou zůstává, zda námi sestrojený $g(x)$ generuje právě $RS_{q,k}$. Ve skutečnosti generuje MDS kód se stejnými parametry.

Pro námi definovaný RS kód je generující polynom tvaru:

$$g(x) = \prod_{i=1}^{n-k} (x - \alpha^i) = \sum_{i=0}^{n-k} g_i x^i. \quad (3.4)$$

Každý kódový polynom (polynom odpovídající kódovému slovu) je násobkem generujícího polynomu. Kořeny $g(x)$ musejí být tedy i kořeny kódového polynomu. Proto lze snadno zjistit, zda je přijaté slovo kódovým slovem ohodnocením odpoví-

²Ve své původní konstrukci byly RS kódy valuacemi ve všech bodech tělesa \mathbb{F}_q (tedy navíc v nule). Naopak zkrácené kódy jsou oblíbené pro menší nároky na dekodér.

dajícího polynomu. Můžeme rovněž sestavit paritní matici $RS_{q,k}$ kódu:

$$P = \begin{pmatrix} 1 & \alpha^1 & \alpha^2 & \alpha^3 & \dots & \alpha^{q-2} \\ 1 & \alpha^2 & \alpha^4 & \alpha^6 & \dots & \alpha^{2(q-2)} \\ \vdots & & & & \ddots & \vdots \\ 1 & \alpha^{n-k} & \alpha^{2(n-k)} & \alpha^{3(n-k)} & \dots & \alpha^{(n-k)(q-2)} \end{pmatrix} \quad (3.5)$$

Vynásobení paritní matice P přijatým slovem \vec{r} odpovídá valuaci přijatého polynomu ve všech $n - k$ kořenech generujícího polynomu $\alpha, \dots, \alpha^{n-k}$. Pokud je vše v pořádku, měl by být výsledkem nulový vektor délky $n - k$. Jinak víme, že nastala chyba ($r(x)$ není násobkem $g(x)$).

3.2 Kódování RS kódů

Z definice můžeme rovnou sestavit generující matici, tedy zdálo by se, že proces kódování je daný. Již jsem se zmínil o efektivnosti systematického kódu. Pokud při přenosu nenastane chyba, jsme schopni informaci ihned vyčíst.

Důležitou vlastností pro nás bude opět cykličnost RS kódů, zvláště pak existence generujícího polynomu $g(x)$. Uvedený postup je obecný pro cyklické kódy a ukazuje kódování do systematického tvaru.

Máme dán cyklický kód C s parametry $[n, k, d]$ a generující polynom $g(x)$ stupně $n - k$. Informaci délky k , kterou chceme kódovat, budeme reprezentovat polynomem $m(x)$ stupně nejvýše $k - 1$.

Nejprve spočteme *paritní* polynom $p(x)$:

$$x^{n-k} \cdot m(x) \equiv p(x) \pmod{g(x)}.$$

Stupeň $p(x)$ je menší než stupeň $g(x)$, tedy $\deg(p) < n - k = \deg(g)$. Polynom odpovídající kódovému slovu v již systematické formě je:

$$c(x) = x^{n-k} \cdot m(x) - p(x).$$

Přepsáno do vektoru vypadá kódové slovo takto:

$$\vec{c} = (-p_0, \dots, -p_{n-k-1}, m_0, \dots, m_k).$$

3.3 Dekódování RS kódů

Nejpoužívanější metody pro dekodování RS kódů jsou založeny na jeho cykličnosti³.

Výsledek součinu paritní matice P s přijatým slovem \vec{r} nazveme syndromem a označíme ho \vec{S} :

$$\vec{S} = P \cdot \vec{r}^T. \quad (3.6)$$

³S mírnými úpravami jsou aplikovatelné například i na BCH kódy.

Tvar přijatého slova je $\vec{r} = \vec{c} + \vec{e}$, kde \vec{e} je slovo určující chybu. Součin paritní matice a kódového slova je z definice roven nule a tak rovnost 3.6 můžeme pro RS kódy přepsat jako:

$$\vec{S} = \begin{pmatrix} 1 & \alpha^1 & \alpha^2 & \alpha^3 & \dots & \alpha^{n-1} \\ 1 & \alpha^2 & \alpha^4 & \alpha^6 & \dots & \alpha^{2(n-1)} \\ \vdots & & & & \ddots & \vdots \\ 1 & \alpha^{n-k} & \alpha^{(n-k)2} & \alpha^{(n-k)3} & \dots & \alpha^{(n-k)(n-1)} \end{pmatrix} \cdot \vec{e}^T \quad (3.7)$$

Pro cyklické kódy je výpočet syndromů ekvivalentní valuaci přijatého polynomu

$$S_j = r(\alpha^j) = e(\alpha^j) = \sum_{i=0}^{n-1} e_i(\alpha^j)^i \quad \text{pro } j = 1, \dots, n-k. \quad (3.8)$$

Můžeme předpokládat, že nastalo v chyb. Chybový polynom $e(x)$ bude mít právě v nenulových koeficientů. Jejich pozice označím i_1, \dots, i_v . Jednotlivé syndromy S_1, \dots, S_{n-k} určují soustavu $n-k$ nelineárních rovnic tvaru:

$$S_j = \sum_{w=1}^v e_{i_w}(\alpha^j)^{i_w} \quad \text{pro } j = 1, \dots, n-k. \quad (3.9)$$

Abychom se neztratili v záplavě mocnin a indexů, zavedeme nové označení:

$$\begin{aligned} X_w &= \alpha^{i_w} \\ Y_w &= e_{i_w} \quad \text{pro } w = 1, \dots, v. \end{aligned} \quad (3.10)$$

Výpočet syndromu pak vypadá následovně:

$$S_j = \sum_{w=1}^v Y_w X_w^j \quad \text{pro } j = 1, \dots, n-k. \quad (3.11)$$

Hodnoty Y_w se nazývají *velikosti chyb (error magnitudes)* a X_w *chybové pozice (error locations)*. Důvod užitých označení je zřejmý.

Zůstává tedy soustava nelineárních (mocninných) rovnic. Metody na její řešení využívají tzv. *error-locator polynom* $\Lambda(x)$. Je to polynom, jehož kořeny jsou inverzy k hledaným chybovým pozicím:

$$\Lambda(x) = \prod_{l=1}^v (1 - xX_l). \quad (3.12)$$

Dekódování můžeme rozdělit na několik kroků. Nejprve musíme nalézt error-locator polynom. Pokud se podaří určit koeficienty error-locator polynomu, můžeme nalézt jeho kořeny X_w^{-1} , tedy hledané chybové pozice. Pak už stačí jen spočítat velikosti chyb Y_w a tím nakonec určit chybu $e(x)$.

Dekódování RS kódů (a i jiných cyklických kódů) pomocí error-locator polynomu můžeme zapsat následovně:

Algoritmus Dekódování cyklických kódů pomocí error-locator polynomuVSTUP: přijaté slovo $r(x)$ VÝSTUP: dekódované slovo⁴ $c'(x)$

1. Spočti syndromy \vec{S} . Pokud $\vec{S} = 0$ je $c'(x) = r(x)$ a ukonči dekódování.
2. Spočti error-locator polynom $\Lambda(x)$
3. Najdi kořeny X_i polynomu $\Lambda(x)$ – *Chienovo prohledávání*
4. Spočti velikosti chyb Y_i – *Forneyho vzorec*
5. Pomocí získaných X_i a Y_i urči chybové slovo $e'(x)$
6. $c'(x) = r(x) - e'(x)$

Jak se změní uvedené vzorce pro jiné cyklické kódy? Funkce pro S_j z (3.11) se nazývá mocninný součet symetrické funkce $\Lambda(x)$. Pro dekódování pomocí error-locator polynomu potřebujeme $n - k$ po sobě jdoucích S_j (pro $j = b + 1, \dots, b + n - k$, kde $b \geq 0$). Aby byl možný přepis (3.11), dostáváme nutnou i postačující podmínku na kořeny generujícího polynomu:

$$g(x) = \prod_{j=1}^{n-k} (x - \alpha^{b+Ej}) \quad \text{pro } b \geq 0 \text{ a } E > 0$$

Malou újmou na obecnosti, ale v zájmu přehlednosti vzorců zůstaneme u našeho RS kódu. Pro jiné kódy nejde o nic jiného, než úpravu indexů ve vzorcích.

Dále se seznámíme se třemi algoritmy pro nalezení error-locator polynomu, metodou pro nalezení jeho kořenů a vzorcem pro výpočet chybových hodnot.

3.3.1 Petersonův algoritmus

Petersonův algoritmus slouží k nalezení koeficientů error-locator polynomu. V dalším textu budeme předpokládat, že při přenosu nastalo $v \in [0, \dots, \lfloor \frac{d-1}{2} \rfloor]$ chyb.

Počet chyb určuje stupeň error-locator polynomu $\Lambda(x)$. Vztah mezi polynomem $\Lambda(x)$ a syndromy S_j ukazuje následující tvrzení:

Tvrzení 3.3.1 (zobecněné Newtonovy identity) *Pro syndromy $S_j = \sum_{i=1}^v Y_i X_i^j$ a error-locator polynom $\Lambda(x) = \sum_{i=0}^v \Lambda_i x^i$ platí následující rekurentní vztah:*

$$S_j = - \sum_{i=1}^v \Lambda_i S_{j-i} \quad \text{pro } j = v + 1, \dots, d - 1 \quad (3.13)$$

⁴Dekódované slovo $c'(x)$ se při velkém počtu chyb může lišit od odeslaného slova $c(x)$ – nestává chybou dekódování

Důkaz: Pro error-locator polynom

$$\prod_{j=1}^v (1 - xX_j) = \sum_{j=0}^v \Lambda_j x^j$$

dosazením $x = 1/X_i$ a vynásobením $Y_i X_i^{l+v}$ dostaneme

$$0 = \sum_{j=0}^v \Lambda_j Y_i X_i^{l+v-j}$$

Součtem přes všechna i :

$$0 = \sum_{i=1}^v \sum_{j=0}^v \Lambda_j Y_i X_i^{l+v-j} = \sum_{j=0}^v \Lambda_j \left(\sum_{i=1}^v Y_i X_i^{l+v-j} \right) = \sum_{j=0}^v \Lambda_j S_{l+v-j}$$

Víme, že $\Lambda_0 = 1$, a tak dostáváme hledaný tvar:

$$S_{l+v} = - \sum_{j=1}^v \Lambda_j S_{l+v-j} \quad \text{pro } l = 1, \dots, d-1-v$$

□

Díky tvrzení víme, že pro chybu váhy v závisí j -tý syndrom na v předchozích. Uvedená rekurence vytváří soustavu lineárních rovnic, kde neznámé jsou právě hledané koeficienty Λ_i , pro $i = 1, \dots, v$. Zapsáno maticově:

$$\begin{pmatrix} S_1 & S_2 & \cdots & S_v \\ S_2 & S_3 & \cdots & S_{v+1} \\ \vdots & & \ddots & \vdots \\ S_v & S_{v+1} & \cdots & S_{2v-1} \end{pmatrix} \begin{pmatrix} \Lambda_v \\ \Lambda_{v-1} \\ \vdots \\ \Lambda_1 \end{pmatrix} = \begin{pmatrix} -S_{v+1} \\ -S_{v+2} \\ \vdots \\ -S_{2v} \end{pmatrix} \quad (3.14)$$

Řešení takové soustavy již není problém, avšak musíme si uvědomit, že neznáme počet chyb v a tedy ani tvar soustavy rovnic. Pomůže následující tvrzení.

Tvrzení 3.3.2 *Nechť při přenosu nastane právě v chyb. Potom matice syndromů chybového vektoru \vec{e}*

$$S = \begin{pmatrix} S_1 & S_2 & \cdots & S_w \\ S_2 & S_3 & \cdots & S_{w+1} \\ \vdots & & \ddots & \vdots \\ S_w & S_{w+1} & \cdots & S_{2w-1} \end{pmatrix}$$

je regulární pokud $w = v$ a singulární pokud $w > v$.

Důkaz: Pokud $w > v$, tak skutečný error-locator polynom dle tvrzení 3.3.1 určuje koeficienty lineární kombinace prvních v sloupců matice, jejíž výsledkem bude sloupec $v+1$. Přičtení lineární kombinace sloupců k jinému sloupci determinant neovlivní a je jasné, že matice s jedním nulovým sloupcem bude singulární.

Těžší je případ, kdy $w = v$. Předpokládejme, že je matice singulární, a tedy existuje pro soustavu (3.14) řešení $\Lambda^*(x) \neq \Lambda(x)$. Pokusíme se zopakovat postup z důkazu tvrzení 3.3.1. Necht

$$\Lambda^*\left(\frac{1}{X_i}\right) = \beta_i \quad \text{pro } i = 1, \dots, v \quad (3.15)$$

Dosadíme-li do $\Lambda^*(x)$ za x hodnotu $1/X_i$ a vynásobíme $Y_i X_i^{l+v}$, dostáváme:

$$\beta_i Y_i X_i^{l+v} = \sum_{j=0}^v \Lambda_j^* Y_i X_i^{l+v-j} \quad (3.16)$$

Sečteme-li rovnice přes všechna i :

$$\begin{aligned} \sum_{i=1}^v \beta_i Y_i X_i^{l+v} &= \sum_{i=1}^v \sum_{j=0}^v \Lambda_j^* Y_i X_i^{l+v-j} \\ \sum_{i=1}^v \beta_i Y_i X_i^{l+v} &= \sum_{j=0}^v \Lambda_j^* S_{l+v-j} \end{aligned} \quad (3.17)$$

Protože $\Lambda^*(x)$ je řešením soustavy, tak pro $l = 1, \dots, v$ je pravá strana rovnice (3.17) rovna nule.

$$\sum_{i=1}^v (\beta_i Y_i) X_i^{l+v} = 0 \quad \text{pro } l = 1, \dots, v \quad (3.18)$$

Víme, že $Y_i \neq 0$ pro $i = 1, \dots, v$ a pokud $\beta_r \neq 0$ pro nějaké r dostáváme, že matice

$$\begin{pmatrix} X_1^{v+1} & X_1^{v+2} & \dots & X_1^{2v} \\ X_2^{v+1} & X_2^{v+2} & \dots & X_2^{2v} \\ \vdots & \vdots & \ddots & \vdots \\ X_v^{v+1} & X_v^{v+2} & \dots & X_v^{2v} \end{pmatrix} \quad (3.19)$$

je singulární (lineární závislost sloupců určuje právě (3.18)). To je však *Vandermonova matice*, jejíž determinant je nenulový.

$$\begin{aligned} \begin{vmatrix} X_1^{v+1} & X_1^{v+2} & \dots & X_1^{2v} \\ X_2^{v+1} & X_2^{v+2} & \dots & X_2^{2v} \\ \vdots & \vdots & \ddots & \vdots \\ X_v^{v+1} & X_v^{v+2} & \dots & X_v^{2v} \end{vmatrix} &= \prod_{i=1}^v X_i^{v+1} \begin{vmatrix} 1 & X_1 & \dots & X_1^{v-1} \\ 1 & X_2 & \dots & X_2^{v-1} \\ \vdots & \vdots & \ddots & \vdots \\ 1 & X_v & \dots & X_v^{v-1} \end{vmatrix} = \\ &= \prod_{i=1}^v X_i^{v+1} \prod_{j < l} (X_l - X_j) \neq 0 \end{aligned}$$

Musí proto být $\beta_i = 0$ pro $i = 1, \dots, v$. Dva polynomy stupně nejvýše v , se stejnými v kořeny, jejichž absolutní členy se rovnají $\Lambda_0 = \Lambda_0^*$ musí být nutně totožné. Dokázali jsme, že $\Lambda(x) = \Lambda^*(x)$, a tedy i celé tvrzení. \square

Nyní již máme dostatek materiálu pro zformování funkčního algoritmu na hledání error-locator polynomu.

Algoritmus Petersonův algoritmus

VSTUP: posloupnost syndromů $\{S_i\}_{i=1}^{d-1}$

VÝSTUP: error-locator polynom $\Lambda(x)$

1. Nastav $w = \frac{d-1}{2}$
2. Zjisti zda je matice

$$S = \begin{pmatrix} S_1 & S_2 & \cdots & S_w \\ S_2 & S_3 & \cdots & S_{w+1} \\ \vdots & & \ddots & \vdots \\ S_w & S_{w+1} & \cdots & S_{2w-1} \end{pmatrix}$$

regulární. Pokud ano, vypočítej soustavu (3.14) a jdi na krok 3.

Pokud je $w = 1$, ohlaš *selhání dekodéru* a skonči.

Pokud je matice singulární, sniž odhad $w = w - 1$ a proved' znovu krok 2.

3. Vrať $\Lambda(x)$

Jiný způsob využití rekurentního vztahu 3.3.1 pro hledání error-locator polynomu uvádím v následující části.

3.3.2 Berlekamp-Masseyho algoritmus

Berlekamp-Masseyho algoritmus opět pomůže určit koeficienty error-locator polynomu. Jednotlivé členy lineární rekurentní rovnice, jaká je v tvrzení 3.3.1, můžeme vytvořit *lineárním posuvným registrem se zpětnou vazbou (LFSR⁵)*.

LFSR je teoretický obvod⁶. Skládá se z lineárně uspořádaných *buňek*, schopných uchovat jednu hodnotu. Buňka může být napojena *zpětnou vazbou*, která vytváří lineární kombinaci hodnot v buňkách.

V každém kroku je lineární kombinací uložených hodnot vytvořena hodnota nová. Všechny uložené hodnoty se následně posunou o jednu buňku dopředu. První hodnota, která se nemá kam posunout, je výstup. Nově vypočtená hodnota je přidána na konec.

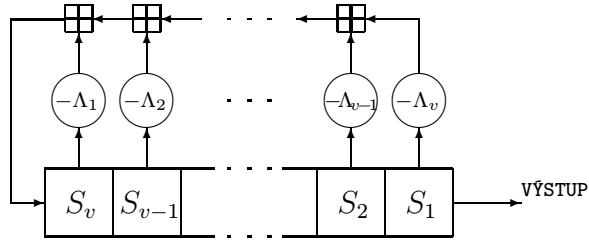
Aby mohl LFSR začít pracovat, je potřeba ho nejdříve naplnit *počátečními hodnotami*. V každém kroku pak na výstupu nalezneme jednu hodnotu. O takto vytvořené posloupnosti hodnot řekneme, že ji daný LFSR *generuje*.

Každý LFSR je úplně popsán svojí *délkou* (počtem buňek) a koeficienty lineární kombinace. Koeficienty se obvykle zapisují ve formě polynomu. Je snadné nahlédnout, že generovaná posloupnost je lineární rekurence.

⁵Linear Feedback Shift Register

⁶LFSR je hojně používán i v praxi, neboť je elektronicky velmi jednoduše realizovatelný.

Obrázek 3 ukazuje LFSR odpovídající rekurenci 3.3.1. Vazební polynom je $\Lambda(x)$ a délka registru $L = v$. LFSR je uveden v počátečním stavu, naplněný prvky posloupnosti S_1, \dots, S_v .



Obr. 3: Posuvný registr (v počátečním nastavení) generující syndromy S_1, \dots, S_{2t+1}

Celý registr je úplně popsán zpětnými vazbami $\Lambda(x)$, délkou a počátečním stavem. Úloha hledání koeficientů error-locator polynomu se transformuje na hledání nejkratšího posuvného registru generujícího předem známou posloupnost S_1, \dots, S_{d-1} . Existence i jednoznačnost řešení takové úlohy máme již zajištěnou tvrzením (3.3.2).

Délka posuvného registru je rovna stupni error-locator polynomu $\Lambda(x)$. Při hledání nejkratšího registru generujícího celou posloupnost $d - 1$ syndromů budeme postupovat iterativně. Pro i -tý krok budeme hledat nejkratší LFSR délky L_i , generující posloupnost S_1, \dots, S_i . Každý takto vytvořený LFSR bude určovat svými zpětnými vazbami nějaký polynom $\Lambda^{(i)}(x)$, tedy v každém kroku hledáme dvojici $(\Lambda^{(i)}(x), L_i)$. Stupeň polynomu se přitom nemusí rovnat délce registru, protože vpravo umístěné buňky nemusejí mít zpětnou vazbu. Uvedená dvojice pak dostatečně popisuje nalezený LFSR.

Tvrzení 3.3.3 Pro posloupnost $\{S_i\}_{i=1}^{d-1}$, nejkratší lineární posuvný registr $(\Lambda^{(i+1)}(x), L_{i+1})$ generující prvních $i + 1$ členů a nejkratší registr $(\Lambda^{(i)}(x), L_i)$ generující prvních i členů, ne však i -tý, platí nerovnost:

$$L_{i+1} \geq \max\{L_i, i + 1 - L_i\} \quad (3.20)$$

Důkaz: Zcela zřejmě platí

$$L_{i+1} \geq L_i, \quad (3.21)$$

jinak by totiž byl $(\Lambda^{(i+1)}(x), L_{i+1})$ kratším registrem generujícím i členů posloupnosti. Pro důkaz sporem předpokládejme, že

$$L_{i+1} < i - L_i. \quad (3.22)$$

Vyjádríme-li pro $(\Lambda^{(i+1)}(x), L_{i+1})$ člen S_{i+1}

$$S_{i+1} = - \sum_{j=1}^{L_{i+1}} \Lambda_j^{(i+1)} S_{i+1-j} \quad (3.23)$$

prvky S_{i+1-j} v součtu můžeme počítat pomocí registru $(\Lambda^{(i)}(x), L_i)$. Nahrazení S_{i+1-j} smíme provést, pokud se při tom nebudeme odkazovat na neexistující členy S_m , pro $m \leq 0$. Nahrazovaným prvkem s nejnižším indexem je $S_{i+1-L_{i+1}}$, a proto

$$\begin{aligned} i + 1 - L_{i+1} - L_i &> 0 \\ L_{i+1} &< i + 1 - L_i. \end{aligned} \quad (3.24)$$

To je splněno díky předpokladu (3.22), a tak můžeme provést substituci

$$\begin{aligned} S_{i+1} &= - \sum_{j=1}^{L_{i+1}} \Lambda_j^{(i+1)} \left(- \sum_{k=1}^{L_i} \Lambda_k^{(i)} S_{i+1-j-k} \right) \\ S_{i+1} &= \sum_{k=1}^{L_i} \sum_{j=1}^{L_{i+1}} \Lambda_j^{(i+1)} \Lambda_k^{(i)} S_{i+1-j-k} \\ S_{i+1} &= \sum_{k=1}^{L_i} \Lambda_k^{(i)} \left(\sum_{j=1}^{L_{i+1}} \Lambda_j^{(i+1)} S_{i+1-j-k} \right) \\ S_{i+1} &= \sum_{k=1}^{L_i} \Lambda_k^{(i)} S_{i+1-k} \end{aligned} \quad (3.25)$$

Dostáváme, že registr $(\Lambda^{(i)}(x), L_i)$ generuje člen S_{i+1} . To je však ve sporu s předpokladem tvrzení. Podmínka (3.22) tedy neplatí a dostáváme $L_{i+1} \geq i + 1 - L_i$ \square

Ve skutečnosti platí v uvedeném tvrzení rovnost, to však uvidíme dále. Pro pochopení algoritmu je potřeba další tvrzení o na první pohled zvláštním LFSR.

Tvrzení 3.3.4 *Nejkratší LFSR generující posloupnost i nul a jako $(i + 1)$ -ní prvek nějaké nenulové číslo má délku $L = i + 1$.*

Důkaz: Pokud by platilo $L < i + 1$, musel by být registr na začátku naplněn pouze nulami, a proto by dále produkoval znovu samé nuly. \square

Zpátky k našemu algoritmu, předpokládejme, že již máme nalezeny nejkratší registry $(\Lambda^{(0)}(x) = 1, L_0 = 0)$, $(\Lambda^{(1)}(x), L_1)$, \dots , $(\Lambda^{(i)}(x), L_i)$. Chtěli bychom za pomoci těchto registrů nelézt registr $(\Lambda^{(i+1)}(x), L_{i+1})$. Již známe nejkratší LFSR $(\Lambda^{(i)}(x), L_i)$ produkující posloupnost délky i . Můžeme spočítat jaký bude $(i + 1)$ -ní prvek:

$$\hat{S}_{i+1} = - \sum_{j=1}^{L_i} \Lambda_j^{(i)} S_{i-j} \quad (3.26)$$

To, co nás ve skutečnosti zajímá, je odchylka od námi hledaného LFSR:

$$\Delta_{i+1} = S_{i+1} - \hat{S}_{i+1} = \sum_{j=0}^{L_i} \Lambda_j^{(i)} S_{i-j} \quad (3.27)$$

Pokud je $\Delta_{i+1} = 0$ jsme hotovi, a $(\Lambda^{(i)}(x), L_i)$ je zároveň nejkratším registrem generujícím $i + 1$ prvků posloupnosti. Avšak pokud $\Delta_{i+1} > 0$ musíme modifikovat zpětné vazby, tedy polynom $\Lambda^{(i)}(x)$:

$$\Lambda^{(i+1)}(x) = \Lambda^{(i)}(x) + A(x) \quad (3.28)$$

pro nějaký polynom $A(x)$.

Abychom byli schopni určit polynom $A(x)$, předpokládejme, že někdy v kroku m , pro $0 \leq m < i$, jsme narazili na stejný problém a došlo k prodloužení registru

$$\begin{aligned} L_m &< L_i \\ L_{m+1} &= L_i \end{aligned} \quad (3.29)$$

Pokusíme se využít polynom $\Lambda^{(m)}(x)$ pro sestavení polynomu $A(x)$. Po polynomu $A(x)$ chceme, aby jako vazební polynom produkoval samé nuly a pouze při $(i + 1)$ -ním prvku vytvořil opačnou odchylku $-\Delta_{i+1}$. Takovou volbou je například posunutý a mírně upravený polynom $\Lambda^{(m)}(x)$

$$A(x) = -\Delta_{i+1}\Delta_m^{-1}x^{i-m}\Lambda^{(m)}(x). \quad (3.30)$$

Hledaný polynom je

$$\Lambda^{(i+1)}(x) = \Lambda^{(i)}(x) - \Delta_{i+1}\Delta_m^{-1}x^{i-m}\Lambda^{(m)}(x). \quad (3.31)$$

Stupeň takto vytvořeného polynomu je

$$\deg(\Lambda^{(i+1)}) \leq \max\{L_i, i - m + L_m\}. \quad (3.32)$$

Předpokládejme, že v tvrzení 3.3.3 platí rovnost.

$$L_{m+1} = L_i = \max\{L_m, m + 1 - L_m\} \quad (3.33)$$

Speciálně díky (3.29) dostáváme

$$L_i = m + 1 - L_m. \quad (3.34)$$

Proto v (3.32) dostáváme

$$\deg(\Lambda^{(i+1)}) \leq \max\{L_i, i + 1 - L_i\} \quad (3.35)$$

a tedy díky předpokládané rovnosti v 3.3.3 pak můžeme určit

$$L_{i+1} = \max\{L_i, i + 1 - L_i\}.$$

Znamená to, že pokud jsme schopni pro počáteční hodnoty algoritmu zachovat rovnost v tvrzení 3.3.3, po zbytek algoritmu bude platit také. Počáteční podmínky

$$(\Lambda^{(0)} = 1, L_0 = 0)(\Lambda^{(1)} = 1, L_1 = 1) \quad (3.36)$$

rovnost splňují a dokázali jsme tedy, že v tvrzení 3.3.3 platí rovnost i našli algoritmus.

Algoritmus Berlekamp-Massey

VSTUP: posloupnost syndromů $\{S_i\}_{i=1}^{d-1}$

VÝSTUP: error-locator polynom $\Lambda(x)$

1. Počáteční podmínky algoritmu jsou

$$(\Lambda^{(0)}(x) = 1, L_0 = 0)$$

$$(\Lambda^{(1)}(x) = 1, L_1 = 1)$$

2. i -tý krok: Spočete pro $(\Lambda^{(i)}(x), L_i)$ odchylku na $(i + 1)$ -ním prvku Δ_{i+1}

$$\Delta_{i+1} = \sum_{j=0}^{L_i} \Lambda_j^{(i)} S_{i-j} \quad (3.37)$$

Pokud je $\Delta_{i+1} = 0$, tak $(\Lambda^{(i+1)}(x), L_{i+1}) = (\Lambda^{(i)}(x), L_i)$.

Pokud $\Delta_{i+1} \neq 0$, tak za pomoci nejbližšího registru $(\Lambda^{(r)}(x), L_r)$, pro $r < i$ kde $\Delta_{r+1} \neq 0$ spočteme

$$\Lambda^{(i+1)}(x) = \Lambda^{(i)} + \Delta_{i+1} \Delta_{r+1}^{-1} x^{i-r} \Lambda^{(r)}(x) \quad (3.38)$$

$$L_{i+1} = \max\{L_i, i + 1 - L_i\} \quad (3.39)$$

3. Pro krok $i = (d - 2)$ vrať $\Lambda^{(d-1)}(x)$.

3.3.3 Euklidův algoritmus

V praxi se často stane, že je možné ještě před samotným dekódováním označit některé přijaté symboly za chybné nebo ztracené. Taková situace nastane například tehdy, pokud je příchozí signál příliš slabý nebo dokonce žádný⁷. Symboly, o kterých víme, že jsou chybné, můžeme prohlásit za vymazané. Skutečná síla cyklických kódů tak přichází s možností přidat do dekódovacího procesu *výmazy* (*erasures*).

Zatímco u chyb neznáme jejich pozici ani počet, u výmazů víme oboje. Nejvíce dokážeme opravit v chyb, kde $2v \leq d - 1$. Naproti tomu výmazů dokážeme opravit s , kde $s \leq d - 1$, neboť $n - (d - 1)$ symbolů ještě jednoznačně určuje kódové slovo (vzdálenost dvou slov je alespoň 1). Spojeno dohromady dostáváme odhad, kolik chyb dokážeme při s výmazolech opravit:

$$2v + s \leq d - 1. \quad (3.40)$$

Přijaté slovo má po zavedení výmazů tvar $r(x) = c(x) + \hat{e}(x) + e^*(x) = c(x) + e(x)$. Polynom $\hat{e}(x)$ je chybový (error) polynom a $e^*(x)$ je polynom určující smazané (erasure) symboly. Celkovou chybu pak určuje *errata-polynom* $e(x)$. Syndromy pro v chyb a s výmazů jsou tvaru

$$S_i = r(\alpha^i) = e(\alpha^i) = \sum_{j=0}^{n-1} e_j \alpha^{ij} = \sum_{j=1}^{v+s} Y_j X_j^i, \quad (3.41)$$

⁷U CD přehrávačů, kde jednotlivé symboly znamenají různý fázový posun odraženého laseru, nemusí vůbec k odrazu dojít

kde Y_j a X_j jsou jak velikosti a pozice chyb, tak i výmazů. Pomocí syndromů dále definujeme *syndrom polynom*

$$S(x) = \sum_{i=1}^{2t} S_i x^{i-1}. \quad (3.42)$$

Abychom mohli začít pracovat s nově definovaným errata polynomem je nutné rozšířit rodinu locator polynomů:

error-locator

$$\lambda(x) = \prod_{j=1}^s (1 - X_j x) \quad (3.43)$$

erasure-locator

$$\tau(x) = \prod_{j=1}^s (1 - X_j x) \quad (3.44)$$

errata-locator

$$\Lambda(x) = \tau(x)\lambda(x) = \prod_{j=1}^{v+s} (1 - X_j x) \quad (3.45)$$

Nakonec další důležitý polynom je *errata-evaluator*

$$A(x) = \sum_{j=1}^{v+s} Y_j X_j \left(\prod_{i \neq j} (1 - X_i x) \right). \quad (3.46)$$

S errata-locator polynomem, jehož stupeň se může blížit hodnotě $2t$, nemůžeme využít předchozích algoritmů využívajících rekurenci z tvrzení 3.3.1. Musíme se tedy poohlédnout po jiných vztazích.

Tvrzení 3.3.5 *Pro syndrom polynom a locator polynomy platí následující vztah:*

$$S(x) \equiv \frac{A(x)}{\lambda(x)\tau(x)} \pmod{x^{2t}} \quad (3.47)$$

Důkaz: Dosazením 3.41 do 3.42 a následnou úpravou dostáváme

$$\begin{aligned} S(x) &= \sum_{i=1}^{2t} \sum_{j=1}^{v+s} Y_j X_j^i x^{i-1} = \sum_{j=1}^{v+s} Y_j \sum_{i=1}^{2t} X_j^i x^{i-1} = \\ &= \sum_{j=1}^{v+s} Y_j X_j \sum_{i=0}^{2t-1} (X_j x)^i = \sum_{j=1}^{v+s} Y_j X_j \left(\frac{1 - (X_j x)^{2t}}{1 - X_j x} \right) = \\ &= \sum_{j=1}^{v+s} \frac{Y_j X_j}{1 - X_j x} - \sum_{j=1}^{v+s} \frac{Y_j X_j^{2t+1} x^{2t}}{1 - X_j x} \end{aligned}$$

Vynásobením errata-locator polynomem $\Lambda(x)$ obdržíme rovnici

$$S(x)\Lambda(x) = A(x) + x^{2t} \left(\sum_{j=1}^{v+s} Y_j X_j^{2t+1} \left(\prod_{i \neq j} (1 - X_i x) \right) \right)$$

Protože absolutní člen $\Lambda(x) = \tau(x)\lambda(x)$ je nenulový a tedy

$$\Lambda(x) \bmod x^{2t} \neq 0$$

, již snadno dostáváme dokazovanou rovnost. □

Co v kongruenci z uvedeného tvrzení známe a co chceme zjistit? Jistě umíme spočítat syndrom polynom. Protože pracujeme s výmazy (známe jejich pozici), máme k dispozici i erasure-locator polynom $\tau(x)$. Je proto výhodné kongruenci ještě mírně uspořádat, a tak definujeme Forney-syndrom polynom $T(x)$

$$T(x) \equiv S(x)\tau(x) \bmod x^{2t} \quad (3.48)$$

s jehož pomocí pak kongruence nabývá tvaru, který si zaslouží (alespoň symbolicky) své tvrzení (již bez důkazu):

Tvrzení 3.3.6 (Berlekamp-Forney key equation)

$$A(x) \equiv T(x)\lambda(x) \bmod x^{2t} \quad (3.49)$$

Rovnice na první pohled vypadá, že pro neznámé polynomy $A(x)$ a $\lambda(x)$ bude mít nekonečně mnoho řešení. Ve skutečnosti jsou naše vyhlídky na jejich nalezení mnohem lepší. Pomohou v tom odhady stupňů obou polynomů.

Pro v chyb a s výmazů platí $2v + s \leq d - 1$. Protože s známe, můžeme přepsat nerovnost na $v \leq \frac{d-1-s}{2}$. Odhady stupňů tedy jsou:

$$\deg(\lambda) \leq \frac{d-1-s}{2} \quad (3.50)$$

$$\deg(A) \leq \frac{d-3+s}{2} \quad (3.51)$$

$$\deg(\lambda) + \deg(A) \leq \frac{d-1-s}{2} + \frac{d-3+s}{2} = d-2 < d-1 \quad (3.52)$$

Dalším důležitým faktem, vyplývajícím z definice obou polynomů, je jejich nesoudělnost. Za těchto podmínek má Berlekamp-Forneyova rovnice dokonce právě jediné řešení pro neznámé $\lambda(x)$ a $A(x)$. Aby bylo jasné, proč tomu tak je, musíme se nejprve podívat na některé vlastnosti *rozšířeného Euklidova algoritmu* (EEA) pro polynomy⁸. Na chvíli tedy opustíme zavedenou symboliku, abychom se na problém podívali v obecné rovině.

⁸Postup počítání EEA pro polynomy je totožný s EEA pro celá čísla

Rozšířený Euklidův algoritmus je algoritmus na nalezení největšího společného dělitele dvou polynomů $\gcd(a(x), b(x)) = c(x)$ a zároveň koeficientů $f(x)$ a $g(x)$ splňujících rovnost

$$a(x)f(x) + b(x)g(x) = c(x). \quad (3.53)$$

Zajímavější než samotný výsledek algoritmu pro nás bude postup, kdy v i -tém kroku máme nalezeny polynomy $f_i(x)$, $g_i(x)$ a $c_i(x)$ splňující

$$a(x)f_i(x) + b(x)g_i(x) = c_i(x). \quad (3.54)$$

Počítání největšího společného dělitele $c(x)$ (klasický Euklidův algoritmus) vyjadřuje rekurentní formalka

$$c_i(x) = c_{i-2}(x) - q_i(x)c_{i-1}(x), \quad (3.55)$$

kde $\deg(c_i) < \deg(c_{i-1})$. Dosazením do (3.54) okamžitě vidíme rovnice pro zbylé dva polynomy

$$f_i(x) = f_{i-2}(x) - q_i(x)f_{i-1}(x) \quad (3.56)$$

$$g_i(x) = g_{i-2}(x) - q_i(x)g_{i-1}(x). \quad (3.57)$$

Počáteční podmínky vypadají následovně:

$$\begin{array}{lll} c_{-1}(x) = a(x) & f_{-1}(x) = 1 & g_{-1}(x) = 0 \\ c_0(x) = b(x) & f_0(x) = 0 & g_0(x) = 1 \end{array}$$

Krok algoritmu můžeme zapsat také maticově. V následujících rovnicích budu kvůli přehlednosti psát polynomy bez (x) - tedy např. místo $q_i(x)$ jen q_i :

$$\begin{pmatrix} c_{i-1} \\ c_i \end{pmatrix} = \begin{pmatrix} 0 & 1 \\ 1 & q_i \end{pmatrix} \begin{pmatrix} c_{i-2} \\ c_{i-1} \end{pmatrix} \quad (3.58)$$

Maticový přístup umožní jednoduše odvodit některé netriviální vztahy. Z (3.58) dostáváme

$$\begin{pmatrix} c_{i-1} \\ c_i \end{pmatrix} = \prod_{j=1}^i \begin{pmatrix} 0 & 1 \\ 1 & q_j \end{pmatrix} \begin{pmatrix} a \\ b \end{pmatrix} = \begin{pmatrix} f_{i-1} & g_{i-1} \\ f_i & g_i \end{pmatrix} \begin{pmatrix} a \\ b \end{pmatrix} \quad (3.59)$$

Důležitý vztah dává determinant matice $\begin{pmatrix} f_{i-1} & g_{i-1} \\ f_i & g_i \end{pmatrix}$, který jak je vidět z neroz-násobeného tvaru se rovná $(-1)^i$. Dostáváme tedy

$$f_{i-1}g_i - f_i g_{i-1} = (-1)^i. \quad (3.60)$$

Vyjádríme-li z (3.54) $f_i = \frac{c_i - bg_i}{a}$, dosadíme do (3.60) a obdobně i pro g_i , dostaneme další dva vztahy

$$c_{i-1}g_i - c_i g_{i-1} = (-1)^i a \quad (3.61)$$

$$f_{i-1}c_i - f_i c_{i-1} = (-1)^i b. \quad (3.62)$$

Nyní přijdou na řadu odhady stupňů, neboť právě ty sehrají nejdůležitější roli. První je z (3.55), kde c_i je zbytek po dělení c_{i-1} , a tedy

$$\deg(c_i) < \deg(c_{i-1}). \quad (3.63)$$

Z rovnic (3.56) a (3.57) můžeme nahlédnout, že stupně f_i i g_i jsou neklesající, a tak dostáváme

$$\deg(f_i) > \deg(f_{i-1}) \quad (3.64)$$

$$\deg(g_i) > \deg(g_{i-1}). \quad (3.65)$$

Tyto odhady spojené s (3.61) a (3.62) dávají nakonec

$$\deg(g_i) + \deg(c_{i-1}) = \deg(a) \quad (3.66)$$

$$\deg(f_i) + \deg(c_{i-1}) = \deg(b). \quad (3.67)$$

Tímto jsme dokončili rozbor rozšířeného Euklidůva algoritmu a na řadu přichází důležité tvrzení.

Tvrzení 3.3.7 *Pro polynomy $a(x)$, $b(x)$ a neznámé polynomy $f(x)$ a $c(x)$ splňující odhady $\deg(f) \leq \mu$ a $\deg(c) \leq \nu$, kde $\mu + \nu = \deg(b) - 1$ má rovnice*

$$a(x)f(x) \equiv c(x) \pmod{b(x)} \quad (3.68)$$

za podmínky $\gcd(f(x), c(x)) = 1$ právě jediné řešení (až na přenásobení konstantou). Takové řešení můžeme navíc nalézt rozšířeným euklidovým algoritmem.

Důkaz: Opět vynechám pro přehlednost v označení polynomů (x) . Rovnost (3.68) můžeme přepsat jako

$$af + bg = c, \quad (3.69)$$

pro nějaký blíže nespécifikovaný polynom g .

Rozšířený Euklidův algoritmus pro dvojici (a, b) postupně vytváří trojice (f_i, g_i, c_i) splňující

$$af_i + bg_i = c_i. \quad (3.70)$$

Stupeň c_i je ostře klesající, a tak můžeme nalézt první index i' , pro který platí

$$\begin{aligned} \deg(c_{i'-1}) &> \nu \\ \deg(c_{i'}) &\leq \nu. \end{aligned} \quad (3.71)$$

Rovnost s hledanými polynomy a rovnost s polynomy z i' -tého kroku algoritmu po řadě vynásobené $f_{i'}$ a f jsou pak

$$\begin{aligned} af f_{i'} + bg f_{i'} &= c f_{i'} \\ af_{i'} f + bg_{i'} f &= c_{i'} f. \end{aligned} \quad (3.72)$$

Odečteme-li druhou rovnici od první, dostáváme

$$\begin{aligned} bg f_{i'} - bg_{i'} f &= c f_{i'} - c_{i'} f \\ c f_{i'} &\equiv c_{i'} f \pmod{b}. \end{aligned}$$

Z podmínek v tvrzení je $\deg(f) \leq \mu$, což spolu s (3.71) dává $\deg(c_{i'} f) \leq \mu + \nu < \deg(b)$. Z (3.71) také víme, že $\deg(c) \leq \nu < \deg(c_{i'-1})$ a spojeno s rovností (3.67)

$\deg(f_{i'}) = \deg(b) - \deg(c_{i'-1}) = \mu + \nu + 1 - \deg(c_{i'-1}) \leq \mu$. Obdobně dostáváme tedy $\deg(cf_{i'}) \leq \mu + \nu < \deg(b)$. Proto dostáváme rovnost

$$cf_{i'} = c_{i'}f \quad (3.73)$$

Spojíme-li tento fakt s (3.72), vyjde též

$$gf_{i'} = g_{i'}f. \quad (3.74)$$

Podmínka (3.60) zaručuje nesoudělnost $f_{i'}$ a $g_{i'}$ a poslední rovnost tedy znamená, že pro nějaký polynom q platí

$$\begin{aligned} f &= qf_{i'} \\ g &= qg_{i'}. \end{aligned} \quad (3.75)$$

Dosadíme-li do (3.69), získáme:

$$aqq + bqf = c.$$

Dostáváme tedy $q|c$. Jedna z podmínek tvrzení však byla nesoudělnost f a c . Proto musí být $\deg(q) = 0$ a q je pouze číslo. Z (3.75) potom dostáváme pro nějaké číslo Δ

$$\begin{aligned} f(x) &= \Delta f_{i'}(x) \\ g(x) &= \Delta g_{i'}(x) \end{aligned}$$

a dále samozřejmě také

$$c(x) = \Delta c_{i'}(x).$$

Tím jsme dokončili konstrukční důkaz ukazující, že řešení nalezneme v i' -tém kroku, kde $c_{i'}$ je první polynom z $\{c_i\}$, jehož stupeň klesne pod odhad ν . \square

Použití tvrzení 3.3.7 na řešení Berlekamp-Forneyovy klíčové rovnice je celkem zřejmé. Již známe odhady stupňů (3.50) až (3.52), které podmínky tvrzení přesně splňují, a není tedy nic dalšího, co bychom potřebovali.

Algoritmus *Euklidův (dekódovací) algoritmus*

VSTUP: syndromy S_i , erasure-locator $\tau(x)$

VÝSTUP: errata-locator $\Lambda(x)$, errata-evaluator $A(x)$

1. Vypočítejte syndrom polynom $S(x)$ dle (3.42).
2. Vypočítejte Forney-syndrom polynom $T(x)$ dle (3.48).
3. Pro výpočet $\Lambda(x)$ a $A(x)$ aplikujte rozšířený Euklidův algoritmus na polynomy $(T(x), x^{d-1})$ s počátečními podmínkami: $\Lambda_0(x) = \tau(x)$, $\Lambda_{-1} = 0$, $R_{-1}(x) = x^{d-1}$, $R_0(x) = T(x)$.

$$R_i(x) = R_{i-2}(x) - Q_i(x)R_{i-1}(x)$$

$$\Lambda_i(x) = \Lambda_{i-2}(x) - Q_i(x)\Lambda_{i-1}(x)$$

kde $\deg(R_i) < \deg(R_{i-1})$. Pro první index i' splňující $\deg(R_{i'}) < \frac{d-3+s}{2}$ spočítejte $\Delta = \Lambda_{i'}(0)$ a pokračujte krokem 4.

$$4. A(x) = \frac{A_{i'}(x)}{\Delta} \text{ a } \Lambda(x) = \frac{\Lambda_{i'}(x)}{\Delta}$$

Uvedený algoritmus zaslouží ještě krátký komentář. Předně bije do očí errata-locator polynom $\Lambda(x)$, který se v Berlekamp-Forneyově klíčové rovnici nevyskytuje. Může za něj upravená počáteční podmínka $\Lambda_0(x) = \tau(x)$. Napíšeme-li vztah pro $\Lambda_1(x)$: $\Lambda_1(x) = \Lambda_{-1}(x) - Q_1(x)\Lambda_0(x) = Q_1(x)\tau(x)$, tak pro posloupnost $\Lambda'_i(x)$ s neupravenou počáteční podmínkou $\Lambda'_0(x) = 1$ jistě platí: $\Lambda'_{i'}(x) = \tau(x)(\Lambda'_{i'-2}(x) - Q_{i'}(x)\Lambda'_{i'-1}(x)) = \tau(x)\Lambda'_{i'}(x)$. Tedy upravením počáteční podmínky jsme nijak chod algoritmu neovlivnili (zastavující podmínka se vztahuje k $A_i(x)$). Navíc rovnou obdržíme error-locator polynom a ušetřili jedno závěrečné násobení.

Určení parametru Δ také není nijak záhadné, neboť víme, že absolutní člen errata-locator polynomu $\Lambda(x)$ musí být jedna, tedy $\Delta = \Lambda_{i'}(0)$.

Je jasné, že uvedený algoritmus můžeme použít i pro samostatné dekódování chyb pouhým nastavením počtu výmazů $s = 0$. Zároveň je potřeba poukázat na tvrzení (3.3.7), které je obecně velmi užitečným a mocným nástrojem. Proto se můžeme setkat i s klíčovými rovnicemi jiného tvaru.

Nakonec musím podotknout, že i Berlekamp-Masseyho algoritmus lze upravit pro dekódování chyb a výmazů.

3.3.4 Chienovo prohledávání

Chienovo prohledávání je metoda pro nalezení kořenů polynomů nad konečnými tělesy. Používá brutální síly, tedy zkouší všechny možné prvky tělesa. Každé konečné těleso \mathbb{F}_q má svůj primitivní prvek α , jehož mocniny generují celé těleso, kromě nuly. Dosazení mocniny α^i do polynomu $\Lambda(x)$ vypadá následovně

$$\Lambda(\alpha^i) = 1 + \Lambda_1\alpha^i + \Lambda_2\alpha^{2i} + \dots + \Lambda_v\alpha^{vi}$$

Při dosazení následující mocniny α^{i+1} můžeme využít předchozího výpočtu:

$$\Lambda(\alpha^{i+1}) = 1 + (\Lambda_1\alpha^i)\alpha^i + (\Lambda_2\alpha^{2i})\alpha^2 + \dots + (\Lambda_v\alpha^{vi})\alpha^v$$

Algoritmus Chienovo prohledávání⁹

VSTUP: error-locator polynom $\Lambda(x) \in \mathbb{F}_q[x]$

VÝSTUP: chybové pozice $\{i_w\}$, kde $X_w = \alpha^{i_w}$

1. Počáteční podmínky $\Lambda_j^{(0)} = \Lambda_j$, pro $j = 1, \dots, v$
2. Pro $l = 1, \dots, q - 1$ proved':

$$\Lambda_j^{(l)} = \Lambda_j^{(l-1)}\alpha^j$$

Pokud $\sum_{j=1}^v \Lambda_j^{(l)} = -1$ pak $q - l$ je chybová pozice.

Postup hledání kořenů je přímočarý, pro $\Lambda_j^{(l)} = \Lambda_j(\alpha^l)^j$. Chybová pozice je $j_w = q - l$ díky vlastnosti tělesa \mathbb{F}_q : $\alpha^{-l} = \alpha^{q-l}$.

⁹Chienovo prohledávání je obecná metoda pro hledání kořenů polynomů nad konečným tělesem... tady je mírně upravena kvůli požadovanému výstupu

3.3.5 Forneyho vzorec

V momentě, kdy určíme chybové pozice X_i , nejsme hotovi. Stále nás čeká spočítat velikosti chyb Y_i . Jednu z možností dává samotná definice syndromů:

$$S_i = Y_1X_1 + Y_2X_2 + \dots + Y_vX_v \quad \text{pro } i = 1, \dots, d-1 \quad (3.76)$$

Protože $v \leq d-1$ (v je počet chyb v případě opravování chyb nebo počet chyb a výmazů, pokud počítáme i s výmazy), máme dostatečnou soustavu lineárních rovnic pro v neznámých Y_i .

Jednodušší výpočet ukazuje Forneyho vzorec. Budeme potřebovat *error-evaluator polynom*¹⁰ $A(x)$.

$$A(x) = \sum_{j=1}^v Y_j X_j \left(\prod_{i \neq j} (1 - X_i x) \right) \quad (3.77)$$

Vztah polynomu $A(x)$ a již známých polynomů udává Berlekamp-Forneyova klíčová rovnice (3.3.6)

$$A(x) \equiv S(x)\Lambda(x) \pmod{x^{2t}} \quad (3.78)$$

kde $S(x)$ je polynom syndromů stejný jako (3.42), tedy

$$S(x) = \sum_{i=1}^{2t} S_i x^{i-1} \quad (3.79)$$

Dále potřebujeme pro error-locator polynom $\Lambda(x)$ jeho derivaci vzhledem k x :

$$\Lambda'(x) = \Lambda_1 + 2\Lambda_2 x + 3\Lambda_3 x^2 + \dots + v\Lambda_v x^{v-1} \quad (3.80)$$

Tvrzení 3.3.8 (Forneyho vzorec)

$$Y_j = -\frac{A(X_j^{-1})}{\Lambda'(X_j^{-1})} \quad \text{pro } j = 1, \dots, v \quad (3.81)$$

Důkaz: Dosazením X_j^{-1} do $A(x)$ dostáváme:

$$A(X_j^{-1}) = Y_j X_j \left(\prod_{i \neq j} (1 - X_i X_j^{-1}) \right) \quad (3.82)$$

Vyjádříme derivaci $\Lambda(x)$ dle vzorce pro derivaci součinu ($(fg)' = f'g + fg'$):

$$\Lambda'(x) = (-X_j) \left(\prod_{i \neq j} (1 - X_i x) \right) + (1 - X_j) \left(\prod_{i \neq j} (1 - X_i x) \right)'$$

a po dosazení X_j^{-1} dostáváme:

$$\Lambda'(X_j^{-1}) = (-X_j) \left(\prod_{i \neq j} (1 - X_i X_j^{-1}) \right).$$

□

Získali jsme tedy vzorec pro snadnější výpočet velikostí chyb Y_j . Pokud známe dvojice (X_j, Y_j) , nic nebrání ve finálním určení chybového slova $e(x)$.

¹⁰V Euklidově algoritmu je to již spočtený errata-evaluator polynom

3.3.6 Krátce o složitostech

Ne vždy je nejefektivnější algoritmus ten nepoužívanější. V praxi záleží na potřebě rychle dekodovat proti které však stojí složitost, velikost a i spotřeba energie dekodéru. Záleží především na konkrétní aplikaci. O některých pak bude řeč v následující kapitole.

V této části stručně shrnuji složitosti uvedených algoritmů bez hlubšího dokazování. Složitosti jsou uváděny ve vztahu k délce kódového slova n , délce informace k a minimální vzdálenosti d .

Kódování

Zdaleka nejsložitější operací je dělení polynomu se zbytkem. Jeho složitost je $O(dn)$.

Výpočet syndromů

Výpočet syndromů znamená pouze $(d - 1)$ krát dosadit do přijatého polynomu $r(x)$. Použijeme-li *Hornerovo schéma*, složitost bude $(d - 1)O(n) \approx O(dn)$.

Petersonův algoritmus

Pro určení koeficientů error-locator polynomu je potřeba řešit soustavu rovnic. Pro nejhorší případ, tedy nastane-li jedna chyba, musíme zjistit regularitu matice $S(w \times w)$, pro $w = (d - 1)/2, \dots, 1$. Budeme-li počítat za pomoci *Gaussovy eliminace*, jejíž složitost je $O(w^3)$, dostáváme složitost zhruba $O(d^4)$. Bohužel to, že nastane pouze jedna chyba, je obvykle nejpravděpodobnější.

Berlekamp-Masseyho algoritmus

Berlekamp-Masseyho algoritmus má oproti Petersonovu tu výhodu, že nejdříve se pokouší nalézt řešení pro jednu chybu, pak pro dvě, atd. Jeho použití je tedy výhodnější. Pokud nastane méně chyb, bude dekodování rychlé (ne jako u Petersonova algoritmu). Algoritmus má celkem $d - 1$ kroků. V každém musíme počítat odchylku (pro i -tý krok nejhůře $O(i)$). Přepočítání locator polynomu pak provedeme nejhůře v $(d - 1)/2$ krocích (opět zhruba $O(i)$). Celkově tedy dostáváme $O(d^2)$.

Euklidův algoritmus

Abychom mohli porovnat Euklidův algoritmus s předchozími, předpokládejme, že dekodujeme pouze chyby bez výmazů ($s = 0$). Tím jsme se mimo jiné vyhlí počítání Forney-syndrom polynomu. Složitost Euklidova algoritmu je v nejhorším případě $O(d^3)$. Avšak oproti předchozím je součástí výstupu i error-evaluator polynom $A(x)$.

Chienovo prohledávání

Při hledání kořenů error-locator polynomu zkusíme dosadit všechny možné prvky tělesa \mathbb{F}_q . Dosazujeme do polynomu stupně nejvýše $(d - 1)/2$. Protože délka kódového slova je shodná s počtem nenulových prvků tělesa, dostáváme složitost $O(dn)$.

Forneyho vzorec

Zde potřebujeme derivaci error-locator polynomu, což není z výpočetního hlediska pro polynomy žádný problém. Výpočet error-evaluátoru $A(x)$ zabere $O(d^2)$. Dále pro nejvýše $(d - 1)/2$ chyb dosazujeme do polynomů stupně nejvýše $(d - 1)/2$. Proto je složitost $O(d^2)$.

Všechny složitosti byly odvozeny velmi hrubě a vše kromě určujících členů bylo zanedbáno. To dává obrázek pouze o tom jak se chovají algoritmy asymptoticky. V

praxi pracujeme s kódy délky v řádu maximálně stovek symbolů. Při tak „malých“ délkách jsou to ale právě zanedbané členy a konstanty, které určují rychlost. Dalším zanedbáním jsou operace v konečném tělese (zpracované jako konstantní), kde není dělení úplně triviální záležitostí. V neposlední řadě velmi záleží na implementaci. Tohle vše je také důvod, proč nemá cenu zkoumat složitost algoritmů do hloubky, neboť bychom museli až na „dno“.

Uvedené metody dekódování rozhodně netvoří kompletní seznam. Mezi vynechanými je například hledání error-locator polynomu za pomoci *Groebnerových bází* nebo přímé využití definice RS kódů s dekódováním přes aproximační polynomy (*Goa algoritmus*).

Kapitola 4

Aplikace RS kódů

Samoopravné kódy jsou dnes používány skoro všude, kde se pracuje s daty. Každá jejich aplikace se liší dle daných požadavků. V této kapitole prezentuji nejznámější aplikace RS kódů.

4.1 CCSDS standard

V roce 1984 vydalo sdružení vesmírných agentur *CCSDS* (Consultative Committee for Space Data Systems) oficiální doporučení na komunikační kódovací standard pro kosmická plavidla.

Doporučení obsahuje RS kód (255, 233). Kód je nad konečným tělesem \mathbb{F}_{2^8} generovaným polynomem $p(x) = x^8 + x^7 + x^2 + x + 1$. Generující polynom (255, 233) RS kódu je tvaru

$$g(x) = \prod_{j=112}^{143} (x - \alpha^{11j}), \quad (4.1)$$

kde α je primitivní prvek \mathbb{F}_{2^8} . Tento zvláštní tvar generujícího polynomu (je symetrický) dovoluje zjednodušit proces kódování.

CCSDS standard byl použit například v misích Mars Observer (1992), Pathfinder (1996), Cassini (1997), Ulysses (1990).

4.2 CIRC

Asi nejznámější aplikací RS kódů najdeme u kompaktních audio disků. Skrývá se pod názvem *CIRC* (Cross-Interleaved Reed-Solomon Code). Je ukázkovým příkladem několika triků pro zlepšení vlastností kanálu. Příčin chyb u CD je hned několik, od rozptýlení paprsku, přes bublinky vzduchu v plastu po otisky prstů a škrábance. Je jasné, že nejčastějšími chybami budou dávkové (*burst*) chyby. Je proto výhodné zacházet s 8-bitovým řetězcem jako s jedním symbolem (bytem). Pak například 8 chybných bitů za sebou znamená chybu maximálně dvou symbolů. Používá se také metoda prokládání (interleaving), abychom dávkové chyby více rozptýlili.

Příklad: Pokud máme řetězec PROKLÁDÁNÍ JE DOBRÉ a nastane dávková chyba na čtyřech symbolech dostaneme PXXXXÁDÁNÍ JE DOBRÉ. S obtížemi pak poznáváme co obsahovala původní zpráva. Pokud však data před odesláním zamícháme, například PÁJRRDEĚOÁ DK NOLÍB, potom se stejnou chybou PXXXXDEĚOÁ DK NOLÍB po opětovném přerovnání symbolů dostáváme PXOKLXDÁNÍ XE DOBXĚ. Díky rozptýlení chyby dokážeme zprávu luštit lehčeji.

CIRC používá dvou zkrácených Reed-Solomonových kódů C_1 a C_2 pracujících s 8-bitovými symboly, tedy nad \mathbb{F}_{2^8} . Kódy nemají přirozenou délku $q-1 = 2^8 - 1 = 255$, ale aby nebyl příliš složitý dekodér, jsou zkráceny na délky $C_1 - (28, 24)$ a $C_2 - (32, 28)$ (čísla uvedená v závorce jsou (n, k) – v bytech). Oba tyto kódy mají nadbytečnost 4 a minimální vzdálenost 5 bytů (symbolů). Poměr prodloužení zprávy je $4/3$.

Použité 8-bitové symboly dobře korespondují s velikostí jednoho hudebního vzorku (*sample*) 16 bitů. Na popis jednoho vzorku tedy potřebujeme dva symboly. Vzorků je za sekundu zaznamenáno 44100. Pro dva kanály (levý a pravý) je požadovaná datová propustnost 1,4112 kbps.

Pro popis kódování označím posloupnost vzorků pravého kanálu $\{R_j\}$ a levého kanálu $\{L_j\}$. Nejprve dvanáct vzorků (šest pravého a šest levého kanálu) uspořádáme do *rámce* (*frame*) – příslušnost vzorku k i -tému kanálu označím horním indexem:

$$F_i = L_1^i R_1^i L_2^i R_2^i L_3^i R_3^i L_4^i R_4^i L_5^i R_5^i L_6^i R_6^i.$$

Jeden vzorek zabere 16-bitů. Naše kódy pracují nad 8-bitovými symboly. Každý vzorek proto rozdělíme na dvě poloviny:

$$F_i = L_1^i L_{1'}^i R_1^i R_{1'}^i L_2^i L_{2'}^i R_2^i R_{2'}^i L_3^i L_{3'}^i R_3^i R_{3'}^i L_4^i L_{4'}^i R_4^i R_{4'}^i L_5^i L_{5'}^i R_5^i R_{5'}^i L_6^i L_{6'}^i R_6^i R_{6'}^i.$$

Velikost jednoho rámce odpovídá délce vstupního slova pro kód C_1 . Na řadu nejprve přichází první prokládání. Půlka z každého vzorku (každý sudý symbol) je zpožděna o dva rámce. To znamená, že rámec obsahuje polovinu symbolů rámce kódovaného dva kroky zpět.

$$F'_i = L_1^i L_{1'}^{i-2} R_1^i R_{1'}^{i-2} L_2^i L_{2'}^{i-2} R_2^i R_{2'}^{i-2} L_3^i L_{3'}^{i-2} R_3^i R_{3'}^{i-2} L_4^i L_{4'}^{i-2} R_4^i R_{4'}^{i-2} \\ L_5^i L_{5'}^{i-2} R_5^i R_{5'}^{i-2} L_6^i L_{6'}^{i-2} R_6^i R_{6'}^{i-2}$$

V dalším kroku budeme prokládat zakódovaný rámec délky 28 bytů. V rámci zpoždíme j -tý symbol o $4j$ rámců. Jeden rámec se nám proto rozprostře do $4 \times 28 = 112$ rámců. Označí-li symboly jednoho rámce jako $\{C_j\}$ a příslušnost k i -tému rámci horním indexem symbolu, vypadá zpoždění následovně:

$$F''_i = C_1^{i-4} C_2^{i-8} C_3^{i-12} \dots C_{28}^{i-112}$$

Takto zpožděné rámce kódujeme kódem C_2 . Rámec se tedy dostává na konečnou délku 32 bytů.

Dalším prokládáním jsou opět zpožděny sudé symboly, tentokrát jen o jeden rámec. Následují další „kosmetické“ úpravy na zlepšení vlastností povrchu CD (*EFM* kódování). Ty jsou však z hlediska samoopravných kódů nezajímavé.

Kód C_2 je určen k opravě pouze jedné chyby. Tím docílíme toho, že tři chyby povedou k selhání dekodéru (jinak bychom dekodovali na špatné slovo). Při přehrávání hudby je spousta možností, jak nahradit špatný vzorek (interpolace, ztišení), což je lepší, než přehrát chybně dekódovaný vzorek. Pokud nastane selhání, označí dekodér C_2 celých 28 symbolů jako výmazy. Ty jsou díky prokládání rozloženy do 28 kódových slov (rámců) C_1 . Kód C_1 je následně většinou použit pouze pro dekódování výmazů.

Pokud se v kódovém slově C_1 objeví více jak 4 výmazy, vrátí dekodér C_1 slovo délky 24 symbolů se všemi symboly označenými jako vymazané (12 vzorků).

Standard CIRC obsahuje pouze popis kódu jako takového, nikoliv procesu dekódování. Uvedený postup je ten nejčastější. Záleží na výrobci čtecí mechaniky jaké metody použije. Vše se pak promítá do koncové ceny.

4.3 DVD

Dalším z rodiny optických médií jsou *DVD* (Digital-Video-Disk). Pro kódování používá dvou RS kódů nad osmi-bitovými symboly, spojených dohromady v součinném kódu *RS-PC* (Reed-Solomon Product Code). Konkrétně jsou to kódy $C_1 - (182, 172)$ a $C_2 - (208, 192)$ opět nad \mathbb{F}_{256} . Výsledné součinný kód má parametry $(182 \cdot 208, 172 \cdot 192, 17 \cdot 11 - 1)$.

4.4 Další aplikace

Výčet aplikací by mohl pokračovat stále dál. Reed-Solomonovy kódy též najdeme například v bezdrátových sítích WiFi, digitální televizi DVB-T, mobilní komunikaci GSM, diskových RAID polích, technologiích xDSL a mnoha dalších.

Literatura

- [1] F.J. MacWilliams, Sloane N.A.: *The Theory of Error-Correcting Codes*, North-Holland, Amsterdam, 1977
- [2] Irving S. Reed, Xuemin Chen: *Error-Control Coding for Data Networks*, Kluwer Academic Publishers, Norwell, 1999
- [3] James L. Massey: *Shift-Register Synthesis and BCH Decoding*, IEEE, 1969
- [4] Robert J. McEliece, James B. Shearer: *A Property of Euclid's Algorithm and an Application to Padé Approximation*, SIAM, 1978
- [5] Tomáš Kaiser: *skripta k přednášce Samoopravné kódy*, MFF-UK, 2004
- [6] Ladislav Bican: *Lineární algebra a geometrie*, Academia, 2000